

Таким образом, гидростатические устройства являются эффективным средством виброизоляции и подвески машин, узлов и агрегатов при действии случайных колебаний. Это обусловлено широкими возможностями по выбору и регулированию конструктивных и гидродинамических параметров ГУ в полученных диапазонах.

#### ЛИТЕРАТУРА

1. Сотсков Б. С. Основы теории и расчета надежности элементов и устройств автоматики и вычислительной техники. — М.: Высшая школа, 1970. — 250 с.
2. Бесекецкий В. А., Попов Е. П. Теория систем автоматического регулирования. — М.: Наука, 1975. — 767 с.
3. Белоусов А. И., Самсонов В. Н., Токарев И. П. Алгоритм проектирования пневмостатического разгрузочного устройства вибростенда. — Вестник машиностроения, 1979, № 12. — с. 24—26.
4. Сиваков А. И., Попов В. И. Экспериментальное исследование случайных колебаний механической системы с виброгасителем. — В сб.: Динамика и прочность машин. — Харьков, 1980, вып. 31. — с. 58—62.

УДК 534.833.524.2

*А. А. Сидоренко, Ф. М. Шакиров*

### *ИССЛЕДОВАНИЕ ДИНАМИЧЕСКИХ ХАРАКТЕРИСТИК АКТИВНОЙ ГАЗОСТАТИЧЕСКОЙ ОПОРЫ*

Активные газостатические опоры, благодаря возможности регулирования их жесткостных и демпфирующих характеристик, могут быть использованы в качестве подвесок транспортных средств, виброизоляторов, виброгасящих устройств и разгрузочных устройств вибростендов. Эти опоры позволяют расширить область эффективной виброзащиты во всем диапазоне амплитуд и частот возмущения, включая и резонанс [1].

Активные газостатические опоры являются системами автоматического управления с обратными связями. Однако имеющих механических связей между возмущением основания опоры и перемещением несущего объекта бывает недостаточно для обеспечения предъявляемых требований к виброзащите. Для повышения эффективности вибро- и ударозащиты в систему могут быть введены дополнительные активные пневматические связи [2].

В работе рассматривается влияние дополнительной связи, формирующей управление на выходе из рабочей камеры, на динамические характеристики двухкамерной опоры с проточной демпферной камерой. Принципиальная схема такой опоры представлена на рис. 1.

Исследование динамики активной газостатической опоры основано

на совместном решении уравнений неразрывности, состояния газа и равновесия сил, действующих на опору.

На основании линеаризованных уравнений неразрывности

$$\delta M_{\text{вх}} - \delta M_{\text{д}} - \delta M_{\text{вых1}} \frac{d}{dt} (\rho_1 V_1); \quad (1)$$

$$\delta M_{\text{д}} - \delta M_{\text{вых2}} = \frac{d}{dt} (\rho_{\text{к}} V_{\text{к}}) \quad (2)$$

и состояния газа

$$\delta \rho = \frac{\rho}{n p} \delta p$$

устанавливаем связь между  $\delta p_{\text{к}}$  и  $\delta x_2$ . При этом полагаем, что массовые расходы через входной 4, выходные 5 и 6 и межкамерный дросселирующий 3 элементы и их приращения зависят только от давлений в камерах  $p_{\text{к}}$ ,  $p_1$  и хода изолируемой массы  $x_2$ :

$$\delta M_{\text{вх}} = r_{1x} a_1 \delta x_2 + b_1 \delta p_1; \quad (3)$$

$$\delta M_{\text{вых1}} = r_{2x} a_2 \delta x_2 + b_2 \delta p_1; \quad (4)$$

$$\delta M_{\text{д}} = b_3 \delta p_1 + b_4 \delta p_{\text{к}}; \quad (5)$$

$$\delta M_{\text{вых2}} = r_{3p} a_3 \delta p_{\text{к}}. \quad (6)$$

где  $a_1 = \frac{\partial M_{\text{вх}}}{\partial R_1}$ ;  $a_2 = \frac{\partial M_{\text{вых1}}}{\partial R_2}$ ;  $a_3 = \frac{\partial M_{\text{вых2}}}{\partial R_3}$ ;

$$r_{1x} = \frac{\partial R_1}{\partial x_2}; \quad r_{2x} = \frac{\partial R_2}{\partial x_2}; \quad r_{3p} = \frac{\partial R_3}{\partial p_{\text{к}}};$$

$$b_1 = \frac{\partial M_{\text{вх}}}{\partial p_1}; \quad b_2 = \frac{\partial M_{\text{вых1}}}{\partial p_1}; \quad b_3 = \frac{\partial M_{\text{д}}}{\partial p_1}; \quad b_4 = \frac{\partial M_{\text{д}}}{\partial p_{\text{к}}};$$

$R_1, R_2, R_3$  — параметры регулирования управляемого органа регуляторов расхода соответственно входа 4 и выхода 5, 6.

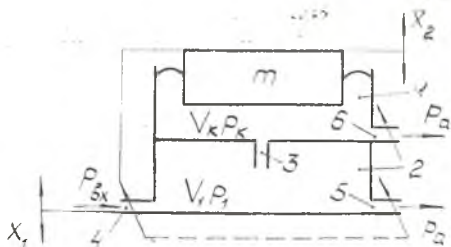


Рис. 1. Принципиальная схема активной опоры: 1 — рабочая камера; 2 — демпферная камера; 3 — межкамерный дросселирующий элемент; 4 — входной регулятор расхода; 5 и 6 — выходные регуляторы расхода

Подставим выражения (3)—(6) соответственно в уравнения (1) и (2) и, исключив из них  $\delta p_1$ , получим уравнение:

$$\begin{aligned} r_{1x} a_1 b_3 \delta x_2 - r_{2x} a_2 b_3 \delta x_2 - r_{3p} a_3 b_3 \delta p_k + (b_1 - b_2) \left( \frac{V_k \rho_k}{n p_k} \frac{d}{dt} \delta p_k - \right. \\ \left. - F_{k\rho_k} \frac{d}{dt} \delta x_2 - r_{3p} a_3 \delta p_k - b_4 \delta p_k \right) = \frac{V_1 \rho_1}{n p_1} \frac{d}{dt} \left( \frac{V_k \rho_k}{n p_k} \frac{d}{dt} \delta p_k - \right. \\ \left. - F_{k\rho_k} \frac{d}{dt} \delta x_2 - r_{3p} a_3 \delta p_k - b_4 \delta p_k \right) + b_3 \frac{V_k \rho_k}{n p_k} \frac{d}{dt} \delta p_k - \\ - b_3 F_{k\rho_k} \frac{d}{dt} \delta x_2. \end{aligned}$$

Из полученного равенства после преобразования его к операторной форме и группировки членов равенства относительно  $\delta p_k$  и  $\delta x_2$  находим динамическую реакцию газового объема опоры:

$$C_{\text{ши}}(S) = C \frac{T_3^2 S^2 + T_1 S + k}{T_4^2 S^2 + T_2 S + 1 + W_p(S) (T_3 S + 1)}, \quad (7)$$

где  $C = F_{k\rho_k} \frac{(a_2 - a_1) b_3}{(b_2 - b_1) b_4}$  — статическая жесткость;

$$T_1 = \frac{F_{k\rho_k} (b_1 - b_2 - b_3)}{b_3 (a_2 - a_1)},$$

$$T_2 = \frac{1}{b_2 - b_1} \left( \frac{V_1 \rho_1}{n p_1} + \frac{b_1 - b_2 - b_3}{b_4} \frac{V_k \rho_k}{n p_k} \right),$$

$$T_3^2 = \frac{V_1 \rho_1}{n p_1} \frac{F_{k\rho_k}}{b_3 (a_1 - a_2)},$$

$$T_4^2 = \frac{1}{(b_1 - b_2) b_4} \frac{V_1 \rho_1}{n p_1} \frac{V_k \rho_k}{n p_k},$$

$$T_A = \frac{V_1 \rho_1}{n p_1} \frac{(b_2 - b_1) b_4}{b_1 - b_2 + b_3} \text{ — постоянные времени;}$$

$W_p(S) = r_{3p} a_3 \frac{b_1 - b_2 - b_3}{(b_1 - b_2) b_4} = T_p \frac{k_p}{S + 1}$  — канал обратной связи для

регулятора выхода 6;

$k = r_{1x} = r_{2x}$  — коэффициент усиления обратной связи регуляторов входа 4 и выхода 5.

Параметры  $T_1, T_2, T_3, T_4$  отражают чувствительность расхода через опору к изменению величин давлений в камерах  $p_k, p_1$  и перемещения  $x_2$ . Анализ динамической реакции газового объема, представленной в виде передаточной функции (7), дает широкие возможности исследования динамических характеристик активной газостатической опоры.

После подстановки  $S = i\omega$  в уравнение (7) получим частотную характеристику газового объема опоры, которая характеризует динамическую жесткость опоры:

$$C_{дин}(i\omega) = C \frac{k + i\omega T_1 - \omega^2 T_3^2}{1 + k_p(1 + i\omega T_3) + i\omega T_2 - \omega^2 T_4^2} \quad (8)$$

где  $\omega$  — частота возмущения.

Выражение (7) можно представить в виде

$$C_{дин}(i\omega) = C_y(\omega) + iD(\omega), \quad (9)$$

где

$$C_y(\omega) = C \frac{(k - \omega^2 T_3^2)(1 + k_p - \omega^2 T_4^2) + \omega^2 T_1(k_p T_3 + T_2)}{(1 + k_p - \omega^2 T_4^2)^2 + \omega^2(k_p T_3 + T_2)^2}$$

— упругая составляющая;

$$D(\omega) = C \frac{T_1(1 + k_p - \omega^2 T_4^2) - (k_p T_3 + T_2)(k - \omega^2 T_3^2)}{(1 + k_p - \omega^2 T_4^2)^2 + \omega^2(k_p T_3 + T_2)^2}$$

— диссипативная составляющая динамической жесткости опоры.

Частотная характеристика газового объема опоры (8), представленная в виде комплексного выражения (9), позволяет выявить влияние рабочих параметров опоры на каждую из составляющих в отдельности (рис. 2) и оценить устойчивость стационарных положений изолируемой массы.

При оценке устойчивости активной опоры используется критерий [3], связывающий величины динамической жесткости и демпфирования газового объема с запасом устойчивости активной опоры, что существенно упрощает процесс исследования.

Устойчивость системы имеет место в случае положительного значения демпфирования газового объема опоры, что соответствует условию

$$\frac{1 + k_p - \omega^2 T_4^2}{k - \omega^2 T_3^2} - \frac{k_p T_3}{T_1} > \frac{T_2}{T_1} \quad (10)$$

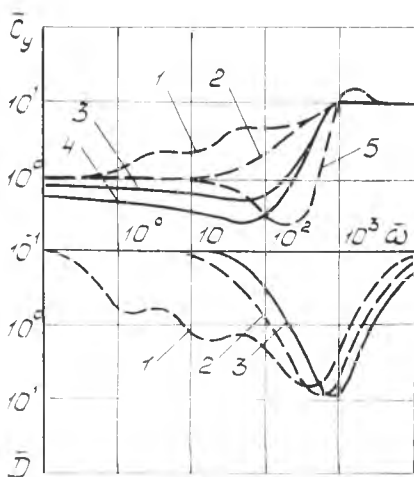


Рис. 2. Зависимости упругой  $C_y$  и диссипативной  $D$  составляющих динамической жесткости от частоты возмущений при различных значениях параметров опоры: 1, 2, 3, 4, 5 — соответственно  $T_1 = 3,0; 1,0; 1,0; 0,1; 0,1$  с ( $k_p = 0; 0; 0,5; 1; 0$ ) при  $T_2/T_1 = 0,1$ ;  $T_4/T_3 = 0,1$ ;  $\omega_0 = 10^{-1}$  с;  $k=1$ ;  $T_1=0$ ;  $T_1 = 0,01$  с

Анализ динамической жесткости газового объема активной опоры по выражению (7) позволяет установить [3], что в квазистатическом режиме ( $\omega \rightarrow 0$ ) динамическая жесткость  $C_y(\omega)$  равна статической  $C$ , т. е. при медленных перемещениях изолируемой массы расход газа через входной элемент 4 равен расходу его через выходные элементы активной опоры 5 и 6. Этому режиму соответствует первый горизонтальный участок характеристики  $C_y(\omega)$  при малых частотах (рис. 2). Диссипативная составляющая  $D(\omega)$  в данном частотном диапазоне близка к нулю, поскольку рассеивание энергии невелико. Из рассмотрения принципиальной схемы активной опоры (рис. 1) следует, что жесткость опоры переменна и имеет несколько значений независимо от метода компенсации давления в рабочей камере [4]. Другим предельным значением является жесткость изолированной (непроточной) поршневой системы ( $C_y = C_x$ ) [5], которая полностью определяется упругими свойствами газового объема рабочей камеры ( $C_x = CT_3/T_4$ ). Жесткости  $C_x$  соответствует третий горизонтальный участок на зависимости  $C_y(\omega)$  при больших частотах возмущения (рис. 2). В этом случае не происходит выдавливания рабочего тела в дросселирующем 3 и выходном 6 элементах, поэтому диссипативная составляющая при  $\omega \rightarrow \infty$  стремится к нулю. Следует отметить существование «провалов» на характеристике  $D(\omega)$  при  $0,1 < T_2/T_1 < 0,8$  и  $T_3/T_1 < 0,3$ . Это происходит в частотных диапазонах, соответствующих промежуточным зонам нечувствительности динамической жесткости  $\bar{C}_y = C_y/C$  (второй и третий горизонтальные участки  $\bar{C}_y(\omega)$ ) к изменению частоты  $\omega$  (рис. 2), которая определяется жесткостью соответственно проточной и непроточной двухкамерной поршневой системы. Существование промежуточных зон нечувствительности  $\bar{C}(\omega)$  определяется соотношением расходов дросселирующих элементов опоры и их чувствительностью к частоте возмущения изолируемой массы.

Движение изолируемой массы на газовом объеме с динамической жесткостью вида (7), согласно принципу Даламбера, описывается уравнением

$$mS^2 x_2 + C_{\text{дин}}(x_2 - x_1) = 0, \quad (11)$$

с учетом равенства (7)

$$mS^2 x_2 + C \frac{T_3^2 S + T_1 S + k}{T_4^2 S^2 + T_2 S + 1 + k_p \frac{T_a S + 1}{T_p S + 1}} (x_2 - x_1) = 0.$$

Определив из последнего уравнения отношение координат перемещения изолируемой массы  $x_2$  и основания опоры  $x_1$ , получим передаточную функцию активной газостатической опоры:

$$K(S) = \frac{k_2}{\lambda_1} = \frac{\omega_0^2 (T_3^2 S^2 + T_1 S + k)}{S^2 [T_4^2 S^2 + T_2 S + 1 + k_p (T_4 S + 1)] + \omega_0^2 (T_3^2 S^2 + T_1 S + k)}. \quad (12)$$

Здесь  $\omega_0^2 = C/m$ .

После подстановки  $S = i\omega = i\bar{\omega}\omega_0$  в выражение (12) получим частотную характеристику системы виброизоляции:

$$K(i\bar{\omega}) = \frac{(k - \bar{\omega}^2 \omega_0^2 T_3^2) + i\bar{\omega} \omega_0 T_1}{(1 - \bar{\omega}^2 - \bar{\omega}^2 k_p) - \bar{\omega}^2 \omega_0^2 (T_3^2 - \bar{\omega}^2 T_4^2) + i\bar{\omega} \omega_0 (T_1 - \bar{\omega} T_2 - \bar{\omega}^2 k_p T_4)}. \quad (13)$$

Модуль и аргумент этой функции соответственно равны:

$$R(\bar{\omega}) = \sqrt{\frac{(k - \bar{\omega}^2 \omega_0^2 T_3^2)^2 + \bar{\omega}^2 \omega_0^2 T_1^2}{\{(k - \bar{\omega}^2 - \bar{\omega}^2 k_p) - \bar{\omega}^2 \omega_0^2 (T_3^2 - \bar{\omega}^2 T_4^2)\}^2 + \bar{\omega}^2 \omega_0^2 (T_1 - \bar{\omega} T_2 - \bar{\omega}^2 k_p T_4)^2}},$$

$$\Psi(\bar{\omega}) = \text{arctg} \frac{\bar{\omega}^5 \omega_0^3 (T_1 T_4^2 - T_2 T_3^2) - (k - \bar{\omega}^2 - \bar{\omega}^2 k_p) - \bar{\omega}^2 \omega_0^2 (T_3^2 - \bar{\omega}^2 T_4^2) + \bar{\omega}^2 \omega_0^2 T_1}{(T_1 - \bar{\omega} T_2 - \bar{\omega}^2 k_p T_4) + \bar{\omega}^4 \omega_0^4 T_3^2 (T_3^2 - \bar{\omega}^2 T_4^2) - \bar{\omega} \omega_0^2 T_3^2 (1 - \bar{\omega}^2)}. \quad (14)$$

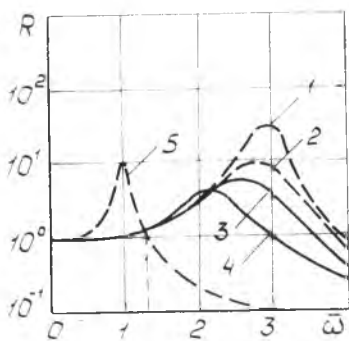


Рис. 3. Амплитудно-частотные характеристики опоры: 1, 2, 3, 4, 5—значения параметров те же, что на рис. 2

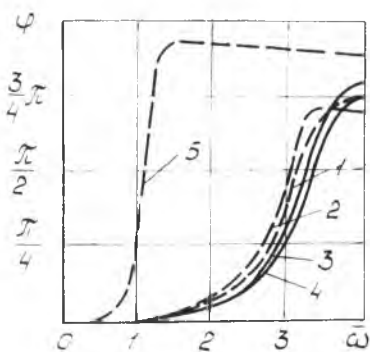


Рис. 4. Фазочастотные характеристики опоры: 1, 2, 3, 4, 5—значения параметров те же, что на рис. 2

На рис. 3 и 4 показаны зависимости модуля и аргумента передаточной функции активной газостатической опоры. Здесь модуль является коэффициентом виброизоляции опоры, а аргумент показывает сдвиг фазы между перемещением основания опоры и изолируемой массы. Для данной системы виброизоляции характерно существование двух предельных значений резонансных частот, зависящих от величины параметров  $T_2/T_1$  и  $T_1\omega_0$ , что

видно из рис. 3. Амплитудно-частотные характеристики при промежуточных значениях  $T_1 \omega_0$  проходят через общую точку пересечения предельных резонансных кривых, что позволяет применить к данной системе метод фиксированной точки [3], который может быть положен в основу оптимизации активной газостатической опоры по резонансным свойствам. Для этого находим сочетание параметров  $T_2/T_1$ ,  $T_4/T_3$  и  $T_1 \omega_0$ , при которых опора имеет резонансную характеристику и максимум которой совпадает с фиксированной точкой. Такому положению резонансной кривой соответствует оптимальная резонансная частота, которая определяется из условия [4]

$$R(T_3^2 = \infty) = -R(T_3^2 = 0).$$

Наличие дополнительных связей оказывает существенное влияние на жесткостные и резонансные характеристики газостатической опоры. Расчеты, проведенные при различных параметрах выходного регулятора расхода  $b - k_p$  и  $T_p$ , показали, что введение дополнительных связей расширяет область виброзащиты с одновременным уменьшением резонансного коэффициента виброизоляции ( $R_p$ ) и позволяет оценить возможность применения активных газостатических опор в качестве средств эффективной ударозащиты объектов. Результаты расчетов приведены на рис. 2 и 3. Для наглядности влияния дополнительных связей приведены жесткостные и амплитудно-частотные характеристики опоры с непроточной рабочей камерой (пунктирные линии). Увеличение коэффициента усиления (при  $k_p > 0$ ) приводит к уменьшению динамической жесткости; при  $k_p < 0$  увеличение коэффициента усиления повышает  $C_y$ . Использование регулятора расхода в рабочей камере с положительным коэффициентом усиления  $k_p$  (рис. 3) расширяет частотный диапазон виброзащиты и уменьшает коэффициент виброизоляции. Полученные зависимости позволяют решать задачи анализа динамических состояний опор различного назначения.

#### ЛИТЕРАТУРА

1. Ружичка Дж. Е. Активные виброзащитные системы. — ЭИ. Испытательные приборы и стенды. — ВИНТИИ, 1969, № 10, реф. 59. — с. 14—25.
2. Королев Ю. В. К теории систем с дополнительными активными связями. — В сб.: Теория активных виброзащитных систем. — Тр. Иркутского политехнического института, вып. II, часть II, 1975. — с. 67—80.
3. Чегодаев Д. Е., Белоусов А. И. Гидростатические опоры как гасители колебаний. — В сб.: Проектирование и доводка авиационных газотурбинных двигателей. — КуАИ, 1974, вып. 67. — с. 196—204.
4. Белоусов А. И., Сидоренко А. А., Чегодаев Д. Е. Методика расчета динамических характеристик активной пневмоопоры. — В сб.: Вибрационная

прочность и надежность двигателей и систем летательных аппаратов. — КуАИ, 1978, вып. 5. — с. 72—78.

5. Ружичка Дж. Е. Резонансные характеристики направленных виброзащитных систем с демпфированием вязким и сухим трением. — Тр. американского общества инженеров-механиков, сер. В, 89, 1967, № 4. — с. 153—168.

УДК 621.822.2

Д. Е. Чегодаев, М. Е. Проданов

## ДИНАМИЧЕСКИЕ ХАРАКТЕРИСТИКИ ГАЗОВОГО СЛОЯ В КОЛЬЦЕВОМ ЗАЗОРЕ

Интенсивное развитие техники определило качественно новые требования, предъявляемые к опорам роторов: надежную работу при больших окружных скоростях, значительных циклических нагрузках и высоких температурах, стойкость к действию агрессивных и высокотемпературных сред. Этим требованиям в большей степени удовлетворяют газовые и гидравлические опоры. Они нашли применение в ядерной энергетике, криогенной, вычислительной, космической и авиационной технике. Результаты исследования газовых опор носят общий характер и могут быть обобщены на подшипники, работающие на несжимаемой жидкости.

В работе рассматриваются процессы, происходящие в газовой пленке при динамическом нагружении газостатического подпятника (рис. 1) при следующих допущениях: задача осесимметричная; течение газа изотермическое; рассматриваемый кольцевой элемент объема газа в зазоре  $V = V_0 e^{i\omega t}$  изменяется по гармоническому закону.

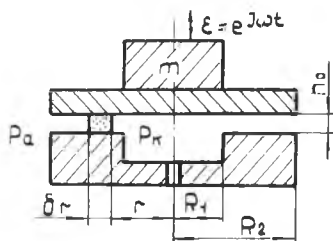


Рис. 1. Схема нагружения газостатического подпятника

Уравнение Рейнольдса в безразмерном виде для изотермического потока между плоскими поверхностями (рис. 1) записывается следующим образом [1]:

$$\frac{1}{\bar{r}} \frac{\partial}{\partial \bar{r}} \left( \bar{r} \bar{\rho} \frac{\partial \bar{p}}{\partial \bar{r}} \right) = \frac{\sigma}{\bar{h}^3} \frac{\partial}{\partial \bar{t}} (\bar{p} \bar{h}), \quad (1)$$

где  $\sigma = \frac{12 \mu R_2^3 \omega}{\rho_0 h_0^3}$  — число сдвигания;  $\bar{r} = \frac{r}{R_2}$ ;  $\bar{h} = \frac{h}{h_0}$ ;